

## トンネル掘削による地表面沈下の解析

大阪大学工学部 正員 伊藤富雄  
大阪大学工学部 正員・久武勝保

### 1. 緒言

都市の過密化に伴い、土地が立体的に利用され、比較的浅いかぶりのトンネルが数多く開削されているが、トンネルが開削されるごとに、周辺地盤は多くの影響を受ける。地上においては構造物等が傾き、地中においてはガス、水道、下水、電話等の埋設物の破損などが挙げられる。最近では住宅地が山腹まで広がってきたことより、一層神経を使わなければならぬ現状である。これをトンネル周辺地盤の挙動に対して、いろいろな仮定に立脚した解法が挙げられるが、かぶりが浅いと、沈下の時間依存性が大きいことなどを考慮して、粘弹性論の立場に立って解析し、若干の考察を行なった。解析に際しては複素関数論において、境界条件を Hilbert 問題へと移行して表わし、各境界に解析接続をすることにより所要の解析関数を求めた。

### 2. 解法の概略

地表面近くにトンネルが開削される場合、トンネルが地表面に近づけば近づくほど、ずり取り出しによろ重力減少の影響は大きくなってしまう。よって、重力減少を考慮して、トンネルを開削しようとすると、これらの初期応力を次のように表示しておく。

$$\sigma_r + i\tau_{r\theta} = C_0 + \sum_{m=1}^{\infty} (C_m \cos m\theta + d_m \sin m\theta) \quad (1)$$

トンネル開削による変位は、式(1)で与えられるトンネル壁面での垂直およびせん断応力と絶対値が同じで逆符号の応力をトンネル壁面  $L_0$  に作用させ、かつ  $L_1, L_2$  上における次の境界条件を満足させた解析関数によってえらぶ。

$$\begin{cases} \varphi_y = 0, \quad \zeta_y = 0 & \text{on } L_1 \\ u = 0, \quad v = 0 & \text{on } L_2 \end{cases} \quad (2)$$

-0°, - $\pi/2$  および  $\pi/2$  に作用させた場合、x, y 軸方向の合はす角は明確に 0 となり、境界  $L_0$  のみを考慮した解析関数は

$$\varphi(z) = \sum_{n=1}^{\infty} a_n z^n, \quad \varphi'(z) = \sum_{n=1}^{\infty} b_n z^n \quad (3)$$

となる。今、作用素  $\Gamma(\varphi, \chi)$  を次の様に定義する。

$$\begin{cases} \Gamma(\varphi, \chi) = \alpha \cdot \varphi(z) + \beta \cdot \bar{\chi}(\bar{z}), \\ \Gamma(\varphi_A + \varphi_B, \chi_A + \chi_B) = \Gamma(\varphi_A, \chi_A) + \Gamma(\varphi_B, \chi_B), \quad \text{ただし, } \chi = \chi(z) = z \cdot \bar{\varphi}(\bar{z}) + \bar{\chi}'(\bar{z}) \end{cases} \quad (4)$$

式(3)は境界  $L_1, L_2$  の条件を満足していないので、まず  $L_1$  における境界条件を満足する解析関数を次の様に仮定する。 $\varphi(z) = \varphi_0(z) + \varphi_1(z)$ ,  $\chi(z) = \chi_0(z) + \chi_1(z)$  (5)

$L_1$  上の境界条件は式(2)より、次の様な Hilbert 問題へと移行して表わされ

$$\Gamma(\varphi_0 + \varphi_1, \chi_0 + \chi_1) = 0, \quad (\alpha = 1, \beta = 1)$$

$L_1$  の境界が  $z = z - 2i h_0$  と複素表示されるごとより、未知関数  $\varphi_1, \chi_1$  は既知関数によつて次の様になる。

$$\varphi_1(z) = -\bar{\chi}_0(\bar{z}) = -\bar{\chi}_0(z - 2i h_0), \quad \chi_1(z) = -\bar{\varphi}_0(\bar{z}) = -\bar{\varphi}_0(z - 2i h_0) \quad (6)$$

同様に  $\varphi_1(z), \chi_1(z)$  が境界  $L_2$  の条件を満足するように解析接続し(この場合は変位拘束より),  $\alpha = 3 - 4\nu$ ,  $\beta = -1$ ,  $\varphi_1(z), \chi_1(z)$  を得る。ところで、 $\varphi_1(z), \chi_1(z)$  および  $\varphi_0(z), \chi_0(z)$  は  $L_0, L_1, L_2$  および  $L_0, L_1$  の境界条件を満すごとになるので、それらの境界に同様に解析接続をする。これを収束するまできり

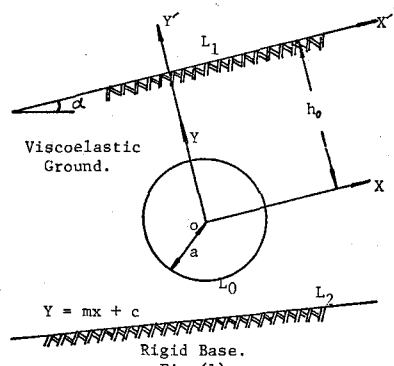


Fig.(1)

かえり、結局、 $\angle_0$ ,  $\angle_1$ , および  $\angle_2$  の境界条件を満足する解析関数は

$$\varphi(z) = \sum_{n=0}^{\infty} S_n(z), \quad \psi'(z) = \sum_{n=0}^{\infty} Q_n'(z) \quad (7)$$

となる。

今、地山が線形粘弾性体と仮定できれば、構成方程式は次の様な convolution integral の形で表わされる。

$$\left. \begin{aligned} S_{ij}(t) &= \int_{-\infty}^t J_{ijkl}(x, t-\tau) \frac{\partial \psi_{kl}}{\partial \tau}(x, \tau) d\tau \\ Q_{ij}'(t) &= \int_{-\infty}^t G_{ijkl}(x, t-\tau) \frac{\partial \varphi_{kl}}{\partial \tau}(x, \tau) d\tau \end{aligned} \right\} \quad (8)$$

ここで  $J_{ijkl}$ ,  $G_{ijkl}$  はそれぞれクリープ関数テソル、緩和関数テソルである。弾性材料と粘弾性材料との間の変位出現の相違は式(8)の構成方程式に出現してあり、式(8)のラプラス変換が次式

$$C_{ij}^*(s) = S \cdot J_{ijkl}^*(s) \cdot Q_{kl}^*(s)$$

$$Q_{ij}'^*(s) = S \cdot G_{ijkl}^*(s) \cdot \varphi_{kl}^*(s)$$

の形で表わさることより LBBM は対応原理を提案した。さればまず、弾性解を求め、それにラプラス変換を施し、より解の中にも含まざる弾性定数を対応する粘弾性体、それからラプラス変換したものに代入し、最後にラプラス逆変換を行なえば、粘弾性問題に対する解を得ることができる。今、等方性粘弾性体において、せん断変形および体積変形を表わす式にラプラス変換を施したもの

$$C_{ij}^*(s) = S \cdot J_1^*(s) \cdot Q_{ij}^*(s)$$

$$Q_{ij}'^*(s) = S \cdot J_2^*(s) \cdot C_{kl}^*(s)$$

となる。すると、弾性定数のラプラス変換したものは  $J_1^*(s)$ ,

$J_2^*(s)$  を用いて表わされ、変位と解析関数との間の関係式をラプラス変換するこより次式を得る。

$$U(s) - iV(s) = J_1^*(s) \left[ \left( 3 - 4 \frac{J_1^*(s) - J_2^*(s)}{2J_1^*(s) + J_2^*(s)} \right) \varphi(z) - \left\{ \bar{z} \cdot \varphi(z) + \psi'(z) \right\} \right] \quad (9)$$

よって、上式をラプラス逆変換することにより変位は求まる。ところで、ボアソン比の時間的変化は一般に小さいことより、今これを一定と仮定すれば体積変形の経時変化はせん断変形に対するクリープ関数  $J_1(t)$  によって一意的に決定される。よって式(9)をこの仮定で求めれば次式を得る。

$$U(t) - iV(t) = J_1(t) \left[ \left( 3 - 4V \right) \varphi(z) - \left\{ \bar{z} \cdot \varphi(z) + \psi'(z) \right\} \right] \quad (10)$$

たとえば、せん断応力とせん断変形との間の関係が、

Fig.(2) のような 3要素モデルで近似できれば、

クリープ関数  $J_1(t)$  は次のようになる。

$$J_1(t) = \frac{1}{2}G + \frac{1}{2}G \cdot (1 - e^{-\frac{t}{T}})$$

ここに、retardation time  $T$  は  $\sqrt{G}$  である。

### 3. 解法の精度

地山が  $45^\circ$  傾いている場合、著者の一人が双極座標

(3)

を用いてトンネル周辺の応力  $\sigma$  を求めているので、これと本解法との比較を行なつたものが Fig.(3) である。

解析関数は地表面とトンネル壁面とにそれぞれ一回解析接続を行なつたもので ( $\varphi(z) = S_n(z) + Q_n(z) + \frac{1}{2}f(z)$ )

非常に収束が良いことがわかる。変位に対しては、ゼラチンを用いて模型実験を行ない、Fig.(4) に示すように大変良い一致をみた。トンネルが地表面に接近してくる場合、解析接続の回数ととり收束性とと調べた結果、

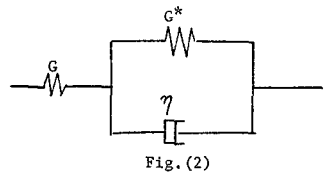


Fig. (2)

— Bipolar Solution.

— Present Approach.

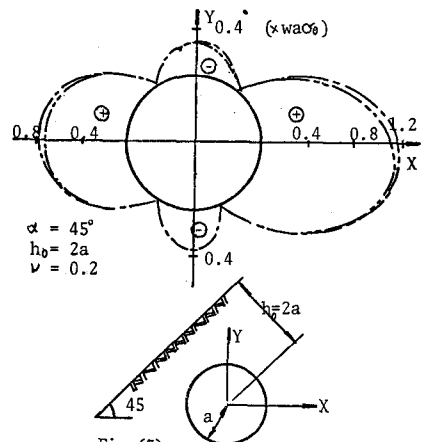


Fig. (3)

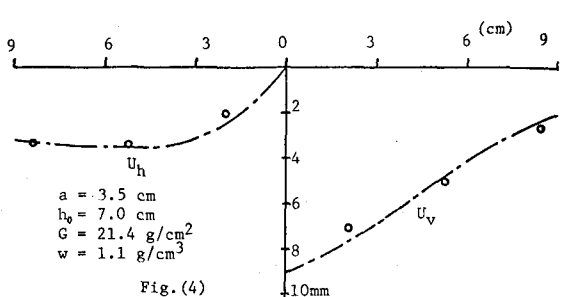


Fig. (4)

$\mu_2$  が存在しなく、 $h_0/a > 3$  の場合には地表面へ一回解析接続をすると全沈下量の 90% 以上が求まることがわかった。Fig.(5) は木々津トンネルおよび新子安トンネルにおける地表面の実測沈下量と解析値との比較を表したものである。

#### 7. 解析結果とその考察

今回の解析で最も興味ある結果は Fig.(6) である。これは  $h_0/a$  の値による地表面変位の分布を表してあり、最大変位量は  $h_0/a$  の影響をほとんど受けないものに比べ、沈下の分布は大変影響を受けることがわかる。初期応力が地表からの深さの一次関数であり、トンネル掘削が深いところになればなるほど応力解放が大きくなることより、沈下の最大値はほぼ一定となる。しかし、沈下の領域は広い範囲にあよう。一方、トンネルの土がぶりが浅くなるにつれて、沈下曲線の勾配は大きくなる。沈下による被覆の多くは不等沈下に起因することから、トンネル土がぶりが浅くなる程二点間の相対変位は大きくなり、危険な状態となる。たとえば、半径 4 m のトンネルを開削する場合、トンネル中心よりところど、トンネル横断面上において中心から 6 m 離れたところでは  $h_0 = 8 \text{ m}$  で約 6 cm、 $h_0 = 20 \text{ m}$  で約 2 cm の垂直相対変位が生ずることとなり（これは、せん断弾性係数  $G = 500 \text{ kg/cm}^2$ 、 $\nu = 0.3$ 、単位体積重量  $w = 1.5 \text{ g/cm}^3$ 、基礎岩盤は存在しないものとする。）、土がぶりが浅くなると加速的に相対変位が増加することがわかる。

Fig.(7) はトンネルの下方に剛でみをせる岩盤が存在する場合、それのトンネルへの接近距離による地表面変位の影響を調べたものである。岩盤がトンネルに近づいてくると、 $U_h$ （垂直変位）、 $U_v$ （水平変位）ともにその出現が大きくなる。これは一見して矛盾しているようであるが、もし岩盤が存在しないければ、仮想  $\mu_2$  上の点はトンネル掘削によって上部に向ふ浮き

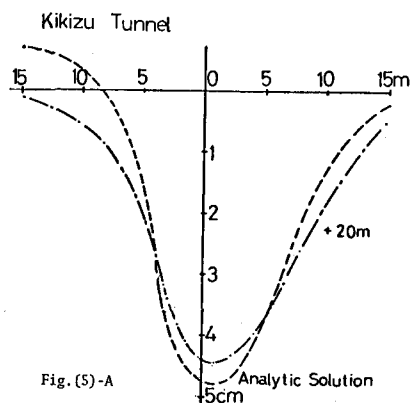


Fig. (5)-A

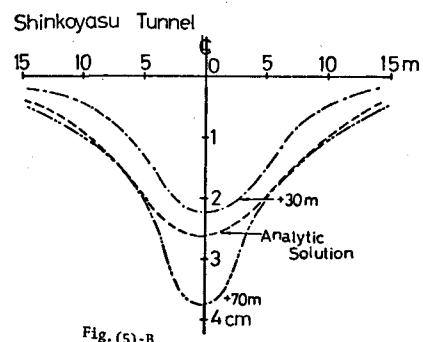


Fig. (5)-B

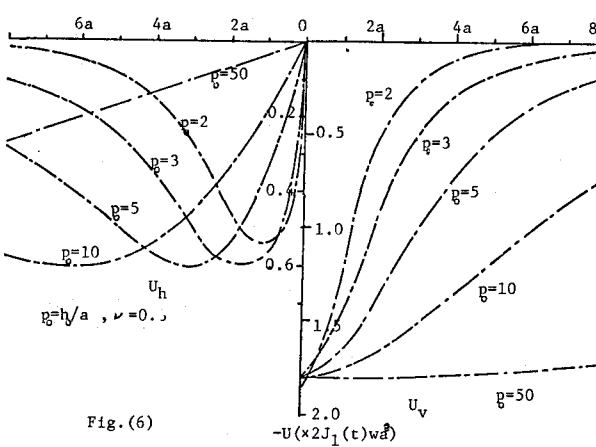


Fig. (6)

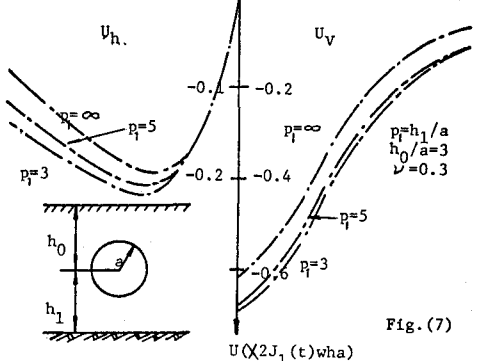


Fig. (7)

上カリ（詳細にはトンネル方向に変位がある），岩盤が存在すればその移動量だけ下方に引きもどすこととなり，地表においては変位は多く出現することとなる。

Fig.(8)は地山の傾きの影響を調べたものである。傾きの増大とともに変位の絶対量は増大し、傾きが約30°以下であれば最大沈下の点はほぼトンネルの真上に存在することわかる。また、沈下曲線の最大値を示す位置よりすぐ谷側のところでは、沈下曲線の勾配が非常に大きいことから、この近傍に相対変位が大きくなることとなる。

Fig.(9)はボアソン比の影響を調べたものであるが、ボアソン比の小さい程不等沈下の様相を示してくれる。たとえばボアソン比の最大、最小値に対する最大沈下量およびトンネル中心上の沈下曲線の勾配は、いずれも約4倍程度の相違が生じてくる( $\nu_0/a = 3$ の時)。Fig.(10)は地中変位を表わしたものである。トンネルのすぐ近くでは垂直沈下は大きく影響を受けるので埋設物の破損には十分注意を払う必要があろう。

## 5. 参考文献

A) Muskhelishvili, N.I. : Some Basic Problems of Mathematical Theory of Elasticity, Noordhoff, Holland, (1963)

B) 森口繁一：2次元弾性論，岩波講座，現代応用数学，1957。

C) Lee, E.H. : Stress Analysis in Viscoelastic Bodies, Quart. Appl. Math., Vol. 13, NO. 2, pp183~190, 1955.

D) 伊藤富雄：傾斜面下に埋ったトンネルの周辺応力について，土木学会誌 Vol. 1, 36~2.

E) 伊藤富雄，久武勝保：地表面近くに開削したトンネルによる周辺地盤の応力を求める金剛原理による解析，土木学会第29回年次学術講演会，第3部，pp 428~429.

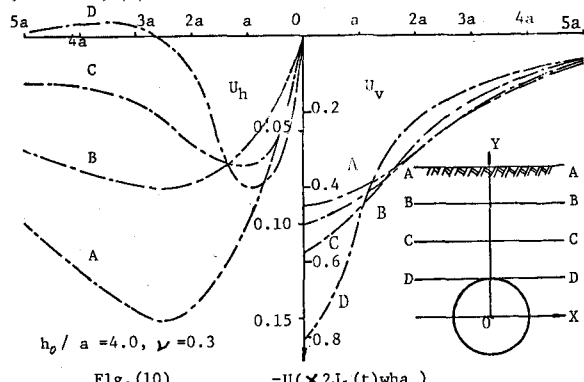


Fig.(10)

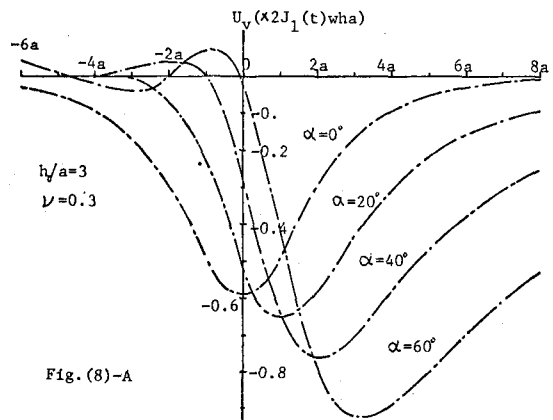


Fig.(8)-A

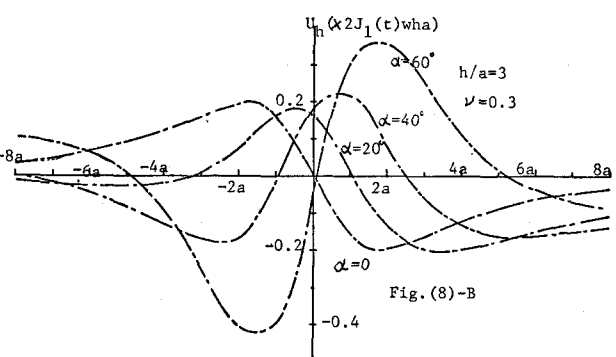


Fig.(8)-B

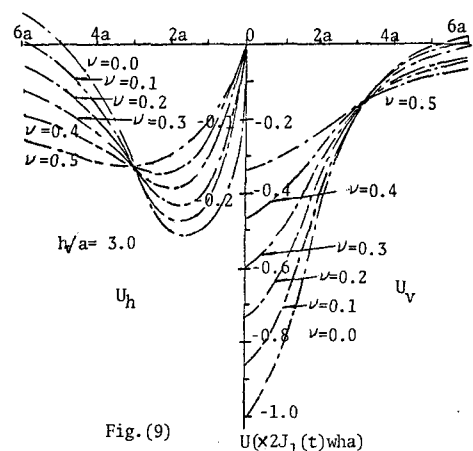


Fig.(9)

Analysis of Ground Deformations Resulting from Tunnel Excavation.

\*\*  
Tomio Ito  
Masayasu Hisatake \*\*

The present paper describes a analytic solution and some numerical examples concerned with the ground deformations created by a tunnel excavation. A complex variable approach is used under the assumption that the ground is a isotropic, homogeneous and viscoelastic material.

Initial stresses  $\sigma_r^0, \gamma_{r\theta}^0$  on the contour of the hole are written as a following series expansion.

$$\sigma_r^0 + i\gamma_{r\theta}^0 = C_0 + \sum_{n=1}^{\infty} (C_n \cdot \cos n\theta + D_n \cdot \sin n\theta) \quad (1)$$

The weight of the ground mass which will be removed with the excavation of the tunnel must be considered in the above equation. When external loads equal magnitude and opposite sign of the stresses in the above equation are applied on the contour of the tunnel, analytic functions  $\varphi_0(z), \psi_0'(z)$  become following forms.

$$\varphi_0(z) = \sum_{n=1}^{\infty} A_n / z^n, \quad \psi_0'(z) = \sum_{n=1}^{\infty} B_n / z^n. \quad (2)$$

Now,  $\Gamma(\varphi, \chi)$  may be defined as follows.

$$\Gamma(\varphi, \chi) = \alpha \cdot \varphi(z) + \beta \bar{\chi}(\bar{z}), \quad \Gamma(\varphi_A + \varphi_B, \chi_A + \chi_B) = \Gamma(\varphi_A, \chi_A) + \Gamma(\varphi_B, \chi_B) \quad (3)$$

where  $\bar{\chi} = \chi(z) = z \cdot \bar{\varphi}(\bar{z}) + \bar{\psi}(\bar{z})$ .

Eq.(2) doesn't satisfy boundary conditions at  $L_1, L_2$ , so firstly one puts analytic functions, which will satisfy the boundary condition  $\sigma_y = 0, \gamma_{xy} = 0$  at  $L_1$ , as following forms.  $\varphi(z) = \varphi_0(z) + \varphi_1(z), \quad \chi(z) = \chi_0(z) + \chi_1(z)$ . (4)

The boundary condition at  $L_1$  can be written as a form of Hilbert problem, and unknown functions  $\varphi_1(z)$  and  $\chi_1(z)$  are expressed by the given function  $\varphi_0(z)$  and  $\chi_0(z)$ .

$$\varphi_1(z) = -\bar{\chi}_0(\bar{z}) = -\bar{\chi}_0(z-2ih_0), \quad \chi_1(z) = -\bar{\varphi}_0(\bar{z}) = -\bar{\varphi}_0(z-2ih_0), \quad (\alpha = 1, \beta = 1) \quad (5)$$

Secondly one can get analytic functions  $\varphi_2(z), \chi_2(z)$  that satisfy the boundary condition at  $L_2$  ( $U_h = 0, U_v = 0$ ) in the same manner. But  $\varphi_2(z), \chi_2(z)$  and  $\varphi_1(z), \chi_1(z)$  disturb the boundary conditions at  $L_0, L_2$  and  $L_0, L_1$  respectively, so the above functions must be connected with the respective boundary. By repeating this connections over and again, one can get following analytic functions which satisfy the all boundary conditions.

$$\varphi(z) = \sum_{n=1}^{\infty} \varphi_n(z), \quad \chi(z) = \sum_{n=1}^{\infty} \chi_n(z). \quad (6)$$

According to the principle of correspondance between a elastic body and a viscoelastic one, inversion of the Laplace transform of Eq.(7) gives the desired displacements for the viscoelastic ground.

$$U_x^*(s) - iU_y^*(s) = J_1^*(s) \left[ \left\{ 3 - 4 \frac{J_1^*(s) - J_2^*(s)}{2J_1^*(s) + J_2^*(s)} \right\} \bar{\varphi}(\bar{z}) - [\bar{z} \cdot \varphi(z) + \psi'(z)] \right]. \quad (7)$$

\*\* : Dep. of Civil Engineering of Osaka University.